

Московский физико-технический институт  
Факультет общей и прикладной физики  
Кафедра проблем теоретической физики

## СВЕРХПРОВОДИМОСТЬ В ТОНКИХ БИСЛОЯХ СВЕРХПРОВОДНИК – НОРМАЛЬНЫЙ МЕТАЛЛ

Дипломная работа  
студента 327 группы  
Я. В. Фомина

Базовая организация:  
Институт теоретической физики им. Л. Д. Ландау РАН  
117334, Москва, Россия

Научный руководитель:  
д.ф.-м.н. М. В. Фейгельман

Рецензент:  
к.ф.-м.н. М. А. Скворцов

Москва  
1999

## I. ВВЕДЕНИЕ

Общеизвестно, что теория Бардина-Купера-Шриффера (БКШ) [1] хорошо описывает большинство металлических сверхпроводников. Одна из главных качественных особенностей теории БКШ – простые соотношения [2] между нуль-температурной энергетической щелью в спектре возбуждений  $\Delta(0)$ , критической температурой сверхпроводящего перехода  $T_c$  и параметром порядка (аномальным средним)  $\mathcal{F}(0+) = \lim_{\mathbf{r} \rightarrow \mathbf{r}', \tau \rightarrow \tau'+0} \langle T_\tau (\tilde{\psi}(\mathbf{r}, \tau) \tilde{\psi}(\mathbf{r}', \tau')) \rangle$ :

$$\Delta(0) = \frac{\pi}{\gamma} T_c \approx 1.76 T_c, \quad (1)$$

$$\Delta = |\lambda| \mathcal{F}(0+), \quad (2)$$

где  $\lambda$  – константа связи электрон-электронного взаимодействия в сверхпроводнике, причем соотношение (2) верно при любой температуре.

Недавно Касумов и др. [3] обнаружили нарушение простых соотношений БКШ, изучая, при низких температурах, вольт-амперные характеристики углеродной нанотрубки, служащей контактом между двумя металлическими бислоями, сделанными из тантала (Ta) и золота (Au). Характерной особенностью бислоев являлось большое отношение толщин нормального (Au) и сверхпроводящего (Ta) слоев,  $d_N/d_S \approx 100/5$ . Измеренное Касумовым и др. низкотемпературное значение величины джозефсоновского критического тока  $I_c$ , будучи проанализировано с помощью соотношения Амбегаокара-Баратова [4]  $I_c = \pi \Delta(0)/2eR_{\text{tube}}$ , говорит о наличии в тантале большой низкотемпературной щели, близкой к своему значению в объеме,  $\Delta_{\text{Ta}} \approx 7$  К. В то же время, температурная зависимость  $I_c(T)$  совершенно не соответствует предсказаниям теории БКШ: после медленного уменьшения от нуль-температурного значения,  $I_c(T)$  резко падает до нуля при  $T_c \approx 0.4$  К, что примерно в 10 раз меньше критической температуры в объеме тантала. Хотя бислои сверхпроводник – нормальный металл (SN) интенсивно изучались теоретически, возможность подобного поведения не была отмечена ранее.

На свойства тонких бислоев оказывает влияние эффект близости, состоящий во взаимовлиянии сверхпроводника и нормального металла. Важность эффекта близости определяется прозрачностью границы между слоями, которую мы будем характеризовать прозрачностью границы на канал  $\gamma_{\text{int}}$ ; ее связь с кондактансом границы  $G_{\text{int}}$  дается

формулой

$$G_{\text{int}} = 2\gamma_{\text{int}}N_{ch}G_K, \quad (3)$$

где  $G_K = e^2/h$  – квантовый кондактанс,  $N_{ch} = \mathcal{A}/(\lambda_F/2)^2$  – эффективное число каналов, приходящихся на границу, имеющую площадь  $\mathcal{A}$ .

Примером влияния эффекта близости может служить критическая температура бислоя  $T_c$ . В случае слабопрозрачной границы  $T_c$  близка к критической температуре слоя сверхпроводника  $T_c^{BCS}$ :

$$\frac{T_c}{T_c^{BCS}} = \exp\left(-\frac{\pi G_{\text{int}}}{8G_K \mathcal{N}_S k_B T_c}\right) \quad \text{при } \epsilon_0 \ll k_B T_c, \quad (4)$$

где (при  $\nu_0 = mp_F/2\pi^2\hbar^3$ )  $\mathcal{N}_X = \mathcal{A}d_X\nu_0^X$  – число состояний на единицу энергии вблизи уровня Ферми в слое  $X$  толщины  $d_X$ , а  $\epsilon_0 = \frac{1}{4\pi} \frac{\mathcal{N}_N + \mathcal{N}_S}{\mathcal{N}_N \mathcal{N}_S} \frac{G_{\text{int}}}{G_K}$ . В случае же почти прозрачной границы

$$\frac{T_c}{T_c^{BCS}} = \left[ \sqrt{1 + \frac{(\hbar\omega_D)^2}{\epsilon_0^2}} \exp\left(-\frac{1}{|\lambda|\nu_0^S}\right) \right]^{\frac{\mathcal{N}_N}{\mathcal{N}_S}} \quad \text{при } \epsilon_0 \gg k_B T_c, \quad (5)$$

где  $\omega_D$  – дебаевская частота. Отсюда в пределе полностью прозрачной границы ( $\epsilon_0 \rightarrow \infty$ ) получаем [5]

$$k_B T_c = 1.13 \hbar\omega_D \exp\left(-\frac{1}{|\lambda|\nu_0^S \mathcal{N}_S / (\mathcal{N}_N + \mathcal{N}_S)}\right), \quad (6)$$

т.е. обычное соотношение БКШ, но с перенормированной константой электрон-электронного взаимодействия.

Цель настоящей работы – рассмотреть промежуточную область прозрачностей границы ( $0 < \gamma_{\text{int}} < 1$ ) и найти параметр порядка в сверхпроводнике  $\Delta$ , плотность сверхпроводящих электронов в сверхпроводнике  $n_S$  и критическую температуру бислоя  $T_c$  как функции прозрачности  $\gamma_{\text{int}}$ . Мы также вычислим температурные зависимости  $\Delta(T)$  и  $n_S(T)$ . Кроме того, будет найдена (при нескольких значениях  $\gamma_{\text{int}}$ ) энергетическая плотность числа электронных состояний  $\nu(E)$  и обсуждена получающаяся энергетическая щель  $E_g$ . Мы будем рассматривать бислои, имеющие те же характеристики, что и в эксперименте [3], хотя прямое сравнение наших результатов с экспериментом [3] пока невозможно.

## II. ТЕОРЕТИЧЕСКОЕ РАССМОТРЕНИЕ ЭФФЕКТА БЛИЗОСТИ

Уравнения на функции Грина, описывающие свойства металла в сверхпроводящем состоянии, были получены Горьковым [2, 6]. Эти уравнения, однако, достаточно сложны, и для применения к реальным задачам обычно достаточно рассматривать их упрощенный вид. Первое упрощение основано на том, что в сверхпроводнике скорость движения куперовской пары как целого много меньше характерной скорости движения электронов, ее образующих – скорости Ферми. Можно сказать, что хотя электроны сильно вырождены, движение куперовских пар квазиклассично. Получающиеся, в главном порядке по малому отношению  $T_c/E_F$ , квазиклассические уравнения называются уравнениями Эйленбергера [7, 8]. Дальнейшего упрощения уравнений можно достичь в случае грязных сверхпроводников, содержащих немагнитные примеси высокой концентрации ( $l \ll \xi_0$ ). Физический факт, на котором основано упомянутое упрощение, состоит в изотропизации функций Грина по мере повышения концентрации примесей. Эти уравнения были предложены Узаделем [8, 9], и именно их мы будем решать (по всей видимости, именно уравнения Узаделя наиболее соответствуют экспериментальной ситуации работы [3]).

### A. Уравнения Узаделя в общем случае

Сформулируем уравнения Узаделя в наиболее общей неравновесной ситуации. Теория неравновесной сверхпроводимости описывает систему электронов в терминах корреляционных функций операторов электронного поля  $\Psi(r, t)$ . Полнота теории обусловлена тем, что нормальные и аномальные корреляторы рассматриваются одновременно. Для этого корреляторы группируются в матрицы  $2 \times 2$  в электрон-дырочном пространстве Намбу. В гайзенберговском представлении введем обозначения  $\Psi_\uparrow(r, t)$  и  $\Psi_\uparrow^\dagger(r, t)$  для операторов уничтожения и рождения фермионной квазичастицы со спином  $\uparrow$  и координатой  $r$ . Тогда вышеупомянутые корреляторы можно сгруппировать в две матрицы  $\hat{M}$  и  $\hat{M}'$ , где  $\hat{M}$  есть матрица антикоммуторов операторов рождения и уничтожения, а  $\hat{M}'$  – та же матрица, но с коммутаторами вместо антикоммуторов:

$$\hat{M}(r, t - t') = \begin{pmatrix} \langle \{ \Psi_\uparrow(r, t), \Psi_\uparrow^\dagger(r, t') \} \rangle & \langle \{ \Psi_\uparrow(r, t), \Psi_\downarrow(r, t') \} \rangle \\ - \langle \{ \Psi_\downarrow^\dagger(r, t), \Psi_\uparrow^\dagger(r, t') \} \rangle & - \langle \{ \Psi_\downarrow^\dagger(r, t), \Psi_\downarrow(r, t') \} \rangle \end{pmatrix}. \quad (7)$$

Здесь скобки  $\langle \rangle$  означают усреднение по статистическому распределению и по беспорядку, а  $\{\}$  – антикоммутатор. Диагональные элементы матриц  $\hat{M}$  и  $\hat{M}'$  соответствуют нормальным, а недиагональные – сверхпроводящим корреляциям. Основными объектами теории являются запаздывающая, опережающая и келдышевская функции Грина  $\hat{R}$ ,  $\hat{A}$  и  $\hat{K}$ , определяемые следующим образом:

$$\hat{R}(r, \varepsilon) = \frac{1}{\nu_0} \mathcal{F} [-i\theta(t)\hat{M}(r, t)], \quad (8)$$

$$\hat{A}(r, \varepsilon) = \frac{1}{\nu_0} \mathcal{F} [i\theta(-t)\hat{M}(r, t)], \quad (9)$$

$$\hat{K}(r, \varepsilon) = \frac{1}{\nu_0} \mathcal{F} [-i\hat{M}'(r, t)], \quad (10)$$

где  $\mathcal{F}$  означает фурье-преобразование по времени,  $\nu_0$  – плотность состояний на уровне Ферми в нормальном состоянии. Функция Хевисайда  $\theta$  отбирает  $t > 0$  для  $\hat{R}$  и  $t < 0$  для  $\hat{A}$ . Функция  $\hat{K}$  отличается от функций  $\hat{R}$  и  $\hat{A}$  тем, что не содержит упорядочения по времени и является коммутатором (а не антикоммутатором) операторов. Она связана с функциями  $\hat{R}$  и  $\hat{A}$  соотношением  $\hat{K} = \hat{R}\hat{f} - \hat{f}\hat{A}$ , где  $\hat{f}$  – функция распределения квази-частиц. В равновесии  $\hat{f} = (1 - 2f_T)\hat{1}$ , где  $f_T$  – обычная функция распределения Ферми. Функции  $\hat{R}$  и  $\hat{A}$ , называемые равновесными функциями Грина, содержат информацию об одночастичном спектре. В дополнение к этому келдышевская функция  $\hat{K}$  содержит информацию о заполнении этих одночастичных состояний.

Определенные выше три функции Грина можно рассматривать совместно, составив из них матрицу  $4 \times 4$ , обозначаемую  $\check{G}$ , подчиняющуюся условию “нормировки”  $\check{G}^2 = \hat{1}$ :

$$\check{G}(r, \varepsilon) = \begin{pmatrix} \hat{R} & \hat{K} \\ 0 & \hat{A} \end{pmatrix}. \quad (11)$$

Из гамильтониана, содержащего упругое рассеяние на немагнитных примесях и электрон-фононное взаимодействие, получается уравнение Узаделя на глобальную функцию Грина  $\check{G}(r, \varepsilon)$ :

$$\hbar D \check{\nabla} (\check{G} \check{\nabla} \check{G}) + i[\check{H}_0, \check{G}] = 0. \quad (12)$$

Здесь  $D$  – коэффициент диффузии,  $\check{H}_0 = \begin{pmatrix} \hat{H}_0 & 0 \\ 0 & \hat{H}_0 \end{pmatrix}$  при  $\hat{H}_0 = \begin{pmatrix} E & \Delta \\ -\Delta^* & -E \end{pmatrix}$ , где  $E$  – энергия,  $\Delta$  – параметр порядка, который должен быть определен самосогласованно из уравнения

$$\Delta = \nu_0 |\lambda| \int_0^{\hbar\omega_D} \mathcal{F} [\langle \{\Psi_\uparrow(r, t), \Psi_\downarrow(r, t')\} \rangle] dE = \nu_0 |\lambda| \int_0^{\hbar\omega_D} \frac{1}{4i} \text{Tr} [(\hat{\tau}_x - i\hat{\tau}_y) \hat{K}] dE, \quad (13)$$

где  $\hat{\tau}_x = \begin{pmatrix} 0 & 1 \\ 1 & 0 \end{pmatrix}$  и  $\hat{\tau}_y = \begin{pmatrix} 0 & -i \\ i & 0 \end{pmatrix}$  – матрицы Паули. Основное уравнение (12) должно быть дополнено граничными условиями [10] на поверхности раздела (в случае бислоя имеются две поверхности раздела каждого из слоев с вакуумом и одна – друг с другом)

$$\sigma_l (\check{G}_l \check{\nabla} \check{G}_l) = \sigma_r (\check{G}_r \check{\nabla} \check{G}_r) = \frac{g_{\text{int}}}{2} [\check{G}_l, \check{G}_r], \quad (14)$$

где индексы  $l$  и  $r$  означают, что соответствующие величины берутся непосредственно слева или справа от поверхности соответственно,  $\sigma$  означает проводимость вещества в нормальном состоянии, и  $g_{\text{int}}$  означает кондактанс на единицу площади поверхности:  $g_{\text{int}} = G_{\text{int}}/\mathcal{A}$ .

## В. Равновесный эффект близости

В термодинамическом равновесии все свойства системы описываются запаздывающей или опережающей функцией Грина. Будем рассматривать запаздывающую функцию  $\hat{R}$ . Введем для нее угловую параметризацию:

$$\hat{R} = \cos \theta \hat{\tau}_z + \sin \theta (\cos \varphi \hat{\tau}_x + \sin \varphi \hat{\tau}_y) = \begin{pmatrix} \cos \theta & e^{-i\varphi} \sin \theta \\ e^{i\varphi} \sin \theta & -\cos \theta \end{pmatrix}, \quad (15)$$

где  $\theta = \theta(r, E)$  – комплексный угол, характеризующий спаривание, и  $\varphi = \varphi(r, E)$  – вещественная сверхпроводящая фаза.

В объеме нормального металла угол  $\theta$  равен нулю при всех энергиях. В объеме же сверхпроводника  $\theta = \theta_{BCS}(E) = \arctan i \frac{\Delta}{E}$ .

Физические свойства системы могут быть выражены в терминах угла  $\theta$ . Уравнение самосогласования для параметра порядка  $\Delta$  принимает вид

$$\Delta(r) = \nu_0 |\lambda| \int_0^{\hbar\omega_D} dE \operatorname{th} \left( \frac{E}{2k_B T} \right) \operatorname{Im} [\sin \theta(r, E)] \exp i\varphi(r, E). \quad (16)$$

Одночастичная плотность состояний  $\nu(r, E)$  и плотность сверхпроводящих электронов  $n_S(r)$  даются формулами

$$\nu(r, E) = \nu_0 \operatorname{Re} [\cos \theta(r, E)], \quad (17)$$

$$n_S(r) = -2 \frac{m}{e^2 \hbar} \sigma \int_0^\infty dE \operatorname{th} \left( \frac{E}{2k_B T} \right) \operatorname{Im} [\sin^2 \theta(r, E)]. \quad (18)$$

В настоящей работе мы не будем рассматривать токонесущие состояния системы, т.е. будем считать сверхпроводящую фазу  $\varphi$  постоянной. В геометрии, в которой пространственные свойства системы зависят только от одной координаты  $x$  (в случае бислоя ось  $x$  направлена поперек слоев), уравнение для запаздывающей функции Грина  $\hat{R}$ , полученное из уравнения (12), с учетом параметризации (15) принимает вид

$$\frac{\hbar D}{2} \frac{\partial^2 \theta(x, E)}{\partial x^2} + iE \sin \theta(x, E) + \Delta(x) \cos \theta(x, E) = 0. \quad (19)$$

Соответствующие граничные условия получаются из условий (14):

$$\sigma_l \left. \frac{\partial \theta_l}{\partial x} \right|_{x=0} = \sigma_r \left. \frac{\partial \theta_r}{\partial x} \right|_{x=0} = g_{\text{int}} \sin(\theta_l(0, E) - \theta_r(0, E)). \quad (20)$$

Именно с этой формой уравнения Узаделя и граничных условий к нему мы будем работать в дальнейшем при изучении бислоя SN.

### 1. Пример решения уравнения Узаделя: грязный сверхпроводник БКШ

В объемном сверхпроводнике или в сверхпроводнике, размеры которого меньше длины когерентности (тонкая пленка или тонкий провод), параметр порядка  $\Delta(r) = \Delta_{BCS}$  постоянен в пространстве, и уравнение Узаделя (19) сводится к

$$\text{tg } \theta_{BCS}(E) = i \frac{\Delta}{E}, \quad (21)$$

откуда

$$\theta_{BCS}(E) = \begin{cases} \frac{\pi}{2} + i \text{arc th } \frac{E}{\Delta}, & \text{если } |E| < \Delta \\ i \text{arc th } \frac{\Delta}{E}, & \text{если } |E| > \Delta. \end{cases} \quad (22)$$

Из формул (16), (17), (18) получаются обычные соотношения БКШ (для наглядности рассматриваем случай  $T = 0$ ):

$$\Delta_{BCS} = 2\hbar\omega_D e^{-1/\nu_0|\lambda|} \quad (23)$$

$$\nu_{BCS}(E) = \begin{cases} 0, & \text{если } |E| < \Delta \\ \nu_0 \frac{|E|}{\sqrt{E^2 - \Delta^2}}, & \text{если } |E| > \Delta. \end{cases} \quad (24)$$

$$n_S^{BCS} = \pi \frac{m\sigma}{e^2 \hbar} \Delta_{BCS}. \quad (25)$$

### III. ЭФФЕКТ БЛИЗОСТИ В ТОНКОМ БИСЛОЕ СВЕРХПРОВОДНИК – НОРМАЛЬНЫЙ МЕТАЛЛ

Рассмотрим бислой SN, состоящий из слоя нормального металла ( $-d_N < x < 0$ ), контактирующего (при  $x = 0$ ) со слоем сверхпроводника ( $0 < x < d_S$ ). В этом случае применимо уравнение Узаделя в форме (19). Будем считать, что слои достаточно тонкие, так что их можно рассматривать как однородные (критерий будет приведен ниже). Отсюда следует, что параметр порядка  $\Delta$  в сверхпроводнике можно считать постоянным в пространстве. В то же время, будем считать, что взаимодействие электронов в нормальном металле отсутствует:  $\lambda = 0$ , поэтому  $\Delta = 0$  в нормальной области. Тогда можно расписать уравнение Узаделя (19) в двух частях бислоя:

$$\begin{cases} \frac{\hbar D_N}{2} \frac{\partial^2 \theta_N(x, E)}{\partial x^2} + iE \sin \theta_N(x, E) = 0 \\ \frac{\hbar D_S}{2} \frac{\partial^2 \theta_S(x, E)}{\partial x^2} + iE \sin \theta_S(x, E) + \Delta \cos \theta_S(x, E) = 0. \end{cases} \quad (26)$$

Из этих уравнений видны характерные пространственные масштабы для двух слоев, и условие однородности, упомянутое выше, можно сформулировать в виде

$$d_S \ll \sqrt{\frac{\hbar D_S}{\Delta}}, \quad d_N \ll \sqrt{\frac{\hbar D_N}{\Delta}}, \quad (27)$$

полученном из соотношений  $d \ll \sqrt{\hbar D/E}$  с характерной энергией  $\Delta$  (т.к. свойства системы определяются энергиями порядка  $\Delta$  или меньше). Заметим, что уменьшение  $\Delta$  с ростом прозрачности границы  $\gamma_{\text{int}}$  облегчает выполнение условий (27). Уравнения (26) можно один раз проинтегрировать:

$$\begin{cases} \frac{\hbar D_N}{4} \left( \frac{\partial \theta_N(x, E)}{\partial x} \right)^2 - iE \cos \theta_N(x, E) = f_N(E) \\ \frac{\hbar D_S}{4} \left( \frac{\partial \theta_S(x, E)}{\partial x} \right)^2 - iE \cos \theta_S(x, E) + \Delta \sin \theta_S(x, E) = f_S(E). \end{cases} \quad (28)$$

Функции  $f_N(E)$  и  $f_S(E)$  должны быть определены из граничных условий. Из условий (20) получаем  $\partial \theta / \partial x = 0$  на границах с вакуумом (т.к. эти границы непрозрачны), откуда

$$\begin{cases} f_N(E) = -iE \cos \theta_N(x = -d_N, E) \\ f_S(E) = -iE \cos \theta_S(x = d_S, E) + \Delta \sin \theta_S(x = d_S, E). \end{cases} \quad (29)$$

Обозначим

$$\begin{cases} \theta_N(E) \equiv \theta_N(x = -d_N, E) \\ \theta_S(E) \equiv \theta_S(x = d_S, E). \end{cases} \quad (30)$$



В силу однородности слоев функции  $\theta_N(x, E)$  и  $\theta_S(x, E)$  почти постоянны как функции координаты  $x$ :  $\theta_N(x, E) \approx \theta_N(E)$ ,  $\theta_S(x, E) \approx \theta_S(E)$ . Однако, для их нахождения необходимо учесть слабые пространственные изменения и воспользоваться граничными условиями на SN-границе. Подставляя

$$\begin{cases} \theta_N(x, E) = \theta_N(E) + \delta\theta_N(x, E) \\ \theta_S(x, E) = \theta_S(E) + \delta\theta_S(x, E) \end{cases} \quad (31)$$

в уравнения (28), линеаризуем их с учетом малости  $|\delta\theta_N(x, E)|$ ,  $|\delta\theta_S(x, E)| \ll 1$  и находим решение

$$\begin{cases} \delta\theta_N(x, E) = \frac{1}{\hbar D_N} (-iE \sin \theta_N(E))(x + d_N)^2 \\ \delta\theta_S(x, E) = \frac{1}{\hbar D_S} (-iE \sin \theta_S(E) - \Delta \cos \theta_S(E))(x - d_S)^2. \end{cases} \quad (32)$$

Наконец, граничные условия (20) на SN-границе дают

$$-i\tau_N E \sin \theta_N(E) = i\tau_S E \sin \theta_S(E) + \tau_S \Delta \cos \theta_S(E) = \sin(\theta_N(E) - \theta_S(E)), \quad (33)$$

где использованы обозначения  $\tau_N = 2\sigma_N d_N / \hbar D_N g_{\text{int}}$ ,  $\tau_S = 2\sigma_S d_S / \hbar D_S g_{\text{int}}$ . Определив  $\theta_S(E)$  из уравнений (33), мы можем, в принципе, найти любые характеристики системы (т.к. нахождение  $\theta_S(E)$  фактически означает нахождение запаздывающей функции Грина  $\hat{R}$ , см. раздел II B).

Однако, решить уравнения (33) аналитически не удастся. Поэтому мы решаем их численно. Исключив  $\theta_N(E)$  из системы уравнений (33), мы получаем единственное уравнение на функцию  $\theta_S(E)$ , которое дает два уравнения на функции  $\text{Re} \theta_S(E)$  и  $\text{Im} \theta_S(E)$ . Полученную систему двух нелинейных уравнений решаем численно с помощью модифицированного метода Ньютона [11].

Решение уравнений (33) зависит от параметров бислоя: размеров, характеристик материалов, составляющих бислой, и прозрачности SN-границы. Эта зависимость входит в (33) через величины  $\tau_N$  и  $\tau_S$ , которые могут быть представлены в виде

$$\tau_N = 2\pi \frac{d_N}{\hbar v_N^F} \frac{1}{\gamma_{\text{int}}}, \quad \tau_S = 2\pi \frac{d_S}{\hbar v_S^F} \frac{1}{\gamma_{\text{int}}}. \quad (34)$$

Мы рассматриваем бислой SN, в котором сверхпроводником является тантал, а нормальным металлом – золото. Скорости Ферми  $v^F$  для этих материалов являются табличными величинами. Толщины слоев считаем такими же, как в эксперименте [3]:  $d_N = 100$  нм,  $d_S = 5$  нм. Таким образом, решение уравнений (33) зависит лишь от прозрачности границы на канал  $\gamma_{\text{int}}$ .

## А. Численные результаты

Имея решение для функции  $\theta_S(E)$ , мы начинаем со случая нулевой температуры,  $T = 0$ , и изучаем зависимость параметра порядка  $\Delta$  и плотности сверхпроводящих электронов  $n_S$  в сверхпроводнике [см. уравнения (16), (18)] от  $\gamma_{\text{int}}$ . Результаты показаны на рисунке 1. На том же рисунке показана зависимость критической температуры  $T_c$  от  $\gamma_{\text{int}}$ , которая может быть получена следующим образом.

Критическая температура  $T_c$  определяется как температура, при которой обращается в нуль параметр порядка  $\Delta$ . В то же время, вблизи  $T_c$  сверхпроводящие корреляции очень малы,  $|\theta| \ll 1$ , однако уравнение самосогласования (16) имеет решение  $\Delta \neq 0$ . Линеаризуя граничные условия (33) по  $\theta_N$  и  $\theta_S$ , легко находим решение:

$$\theta_S(E) = i \frac{\Delta}{E} \left[ 1 - \frac{\tau_N}{\tau_N + \tau_S} \frac{1}{1 + i \frac{\tau_N \tau_S}{\tau_N + \tau_S} \frac{E}{\hbar \omega_D}} \right]. \quad (35)$$

Подставляя этот результат в уравнение самосогласования (16) и сокращая обе стороны уравнения на  $\Delta$ , получаем:

$$\frac{1}{\nu_0 |\lambda|} = \int_0^{\hbar \omega_D} \frac{dE}{E} \left[ 1 - \frac{\tau_N}{\tau_N + \tau_S} \frac{1}{1 + \left( \frac{\tau_N \tau_S}{\tau_N + \tau_S} \right)^2 \frac{E^2}{\hbar^2 \omega_D^2}} \right] \text{th} \frac{E}{2k_B T_c}. \quad (36)$$

Первое слагаемое в скобках дает интеграл того же вида, что и интеграл, определяющий критическую температуру БКШ  $T_c^{BCS}$ :

$$\frac{1}{\nu_0 |\lambda|} = \int_0^{\hbar \omega_D} \frac{dE}{E} \text{th} \frac{E}{2k_B T_c^{BCS}} \approx \ln \frac{1.13 \hbar \omega_D}{k_B T_c^{BCS}}, \quad (37)$$

поэтому уравнение (36) может быть переписано в виде

$$\ln \frac{T_c}{T_c^{BCS}} = - \int_0^{\hbar \omega_D} \frac{dE}{E} \frac{\tau_N}{\tau_N + \tau_S} \frac{1}{1 + \left( \frac{\tau_N \tau_S}{\tau_N + \tau_S} \right)^2 \frac{E^2}{\hbar^2 \omega_D^2}} \text{th} \frac{E}{2k_B T_c}. \quad (38)$$

Из этого уравнения и получается кривая  $T_c$ , изображенная на рисунке 1.

В случае сверхпроводника БКШ все три кривые, изображенные на рисунке 1, должны были бы совпадать. Мы видим, что в нашем случае это не так: кривые отличаются, причем в окрестности  $1/\gamma_{\text{int}} = 100$  это отличие – на порядок. На рисунках 2 и 3 область  $80 < 1/\gamma_{\text{int}} < 150$  изображена в увеличенном масштабе.

На рисунке 4 показаны температурные зависимости параметра порядка  $\Delta$  и плотности сверхпроводящих электронов  $n_S$  в сверхпроводнике. При  $1/\gamma_{\text{int}} = 110$  наблюдается существенное отклонение от предсказаний теории БКШ.

Наконец, на рисунке 5 показана зависимость плотности состояний  $\nu(E) = \nu_0 \operatorname{Re} [\cos \theta_S(E)]$  от энергии. Эта зависимость радикально отличается от плотности состояний в теории БКШ. В частности, вместо щели  $\Delta_{BCS}$  наблюдается мини-щель  $E_g$  при очень малых энергиях. Эта мини-щель может быть найдена аналитически:

### В. Вычисление мини-щели в плотности состояний

Существование щели означает, что в области малых энергий плотности состояний в обоих слоях равны нулю:

$$\operatorname{Re} [\cos \theta_S] = \operatorname{Re} [\cos \theta_N] = 0, \quad (39)$$

откуда следует, что

$$\begin{cases} \theta_S = \frac{\pi}{2} + i\vartheta_S \\ \theta_N = \frac{\pi}{2} + i\vartheta_N, \end{cases} \quad (40)$$

где  $\vartheta_S$  и  $\vartheta_N$  вещественны. В этом случае из уравнений (33) получаем:

$$\begin{cases} \operatorname{th} \vartheta_N = \frac{\operatorname{sh} \vartheta_S - \tau_N E}{\operatorname{ch} \vartheta_S} \\ \operatorname{ch} \vartheta_N = -\frac{\tau_S}{\tau_N} \operatorname{ch} \vartheta_S + \frac{\tau_S \Delta}{\tau_N E} \operatorname{sh} \vartheta_S. \end{cases} \quad (41)$$

Мы рассматриваем область малых энергий. Предположим, что в этой области  $|\operatorname{sh} \vartheta_S| \gg \tau_N E$  (получив ответ, мы найдем условие, при котором это соотношение выполнено). Тогда из первого уравнения (41) находим, что  $\vartheta_N = \vartheta_S$ , и в этом случае второе уравнение (41) приводит к результату

$$\operatorname{th} \vartheta_S = \frac{\tau_N + \tau_S}{\tau_S} \frac{E}{\Delta}, \quad (42)$$

откуда следует

$$\cos \theta_S = \cos \theta_N = -i \frac{E}{\sqrt{E_g^2 - E^2}}, \quad (43)$$

где  $E_g = \frac{\tau_S}{\tau_N + \tau_S} \Delta$ . Формула (43) имеет тот же вид, что и в случае БКШ, но с щелью  $E_g$  вместо  $\Delta$ . Теперь рассмотрим величину  $\tau_N E / \operatorname{sh} \vartheta_S$ , малость которой требуется для справедливости этого результата:

$$\frac{\tau_N E}{\operatorname{sh} \vartheta_S(E)} = \tau_N \sqrt{E_g^2 - E^2} < \tau_N E_g \approx \tau_S \Delta. \quad (44)$$

Последнее соотношение выполнено в силу того, что  $\tau_S / \tau_N \sim d_S / d_N \ll 1$ . Таким образом, мы получили, что

$$E_g = \frac{\tau_S}{\tau_N + \tau_S} \Delta, \quad \text{если } \tau_S \Delta \ll 1. \quad (45)$$

Теперь рассмотрим противоположный случай  $\tau_S \Delta \gg 1$ . Предположим, что в этом случае при малых энергиях  $|\text{sh } \vartheta_S| \ll \tau_N E$ . Тогда из первого уравнения (41) следует, что  $\text{th } \vartheta_N = -\tau_N E$ . Воспользовавшись вторым уравнением (41), получаем

$$\text{sh } \vartheta_S = \frac{1}{\tau_S \Delta} \frac{\tau_N E}{\sqrt{1 - (\tau_N E)^2}}, \quad (46)$$

и, как мы и предполагали, при малых энергиях отношение  $|\text{sh } \vartheta_S|/\tau_N E$  действительно много меньше единицы. Отсюда следует, что

$$\cos \theta_S = -i \frac{1}{\tau_S \Delta} \frac{\tau_N E}{\sqrt{1 - (\tau_N E)^2}}, \quad (47)$$

и мы находим щель:

$$E_g = \frac{1}{\tau_N}, \quad \text{если } \tau_S \Delta \gg 1. \quad (48)$$

Из формул (45) и (48) следует, что с ростом  $1/\gamma_{\text{int}}$  щель  $E_g$  сначала растет (малые  $\tau_S \Delta$ ), а затем убывает (большие  $\tau_S \Delta$ ). Поэтому  $E_g$  достигает максимума при  $\tau_S \Delta \sim 1$ , этому соответствует значение  $1/\gamma_{\text{int}} \approx 140$ . Конечно, приведенная оценка справедлива лишь по порядку величины.

#### IV. ЗАКЛЮЧЕНИЕ

В работе рассмотрен бислой сверхпроводник – нормальный металл, в котором сверхпроводником является тантал, а нормальным металлом – золото. Характерной особенностью бислоя является малая толщина сверхпроводящего слоя:  $d_S/d_N = 5/100 = 0.05$ . Исходя из уравнения Узалея, справедливого для грязных сверхпроводящих систем, получены уравнения, из которых численно найдены зависимости параметра порядка в сверхпроводнике  $\Delta$ , плотности сверхпроводящих электронов в сверхпроводнике  $n_S$  и критической температуры бислоя  $T_c$  от прозрачности границы на канал  $\gamma_{\text{int}}$ . Также рассмотрена зависимость  $\Delta$  и  $n_S$  от температуры. Обнаружено, что вместо щели  $\Delta$  в плотности состояний имеется мини-щель  $E_g$ , величина которой в двух предельных (по  $\gamma_{\text{int}}$ ) случаях найдена аналитически. Общим результатом работы является вывод о том, что эффект близости в рассматриваемой системе приводит к сильному отличию свойств системы от предсказаний теории БКШ, в частности, это отличие проявляется

в нарушении соотношений БКШ между  $\Delta$ ,  $T_c$  и  $n_S$ .

---

- [1] J. Bardeen, L. N. Cooper, J. R. Schrieffer, Phys. Rev. **108**, 1175 (1957).
- [2] А. А. Абрикосов, Л. П. Горьков, И. Е. Дзялошинский, *Методы квантовой теории поля в статистической физике*, М., Физматгиз, 1962.
- [3] A. Yu. Kasumov, R. Deblock, M. Kociak, B. Reulet, H. Bouchiat, I. I. Khodos, Yu. B. Gorbatov, V. T. Volkov, C. Journet, M. Burghard, submitted to Science.
- [4] V. Ambegaokar, A. Baratoff, Phys. Rev. Lett. **10**, 486 (1963).
- [5] P. G. de Gennes, Rev. Mod. Phys. **36**, 225 (1964).
- [6] Л. П. Горьков, ЖЭТФ **34**, 735 (1958).
- [7] G. Eilenberger, Z. Phys. B **214**, 195 (1968).
- [8] А. В. Свидзинский, *Пространственно-неоднородные задачи теории сверхпроводимости*, М., Наука, 1982.
- [9] K. D. Usadel, Phys. Rev. Lett. **25**, 507 (1970).
- [10] М. Ю. Куприянов, В. Ф. Лукичев, ЖЭТФ **94**, 139 (1988).
- [11] Р. П. Федоренко, *Введение в вычислительную физику*, М., Изд-во МФТИ, 1994.

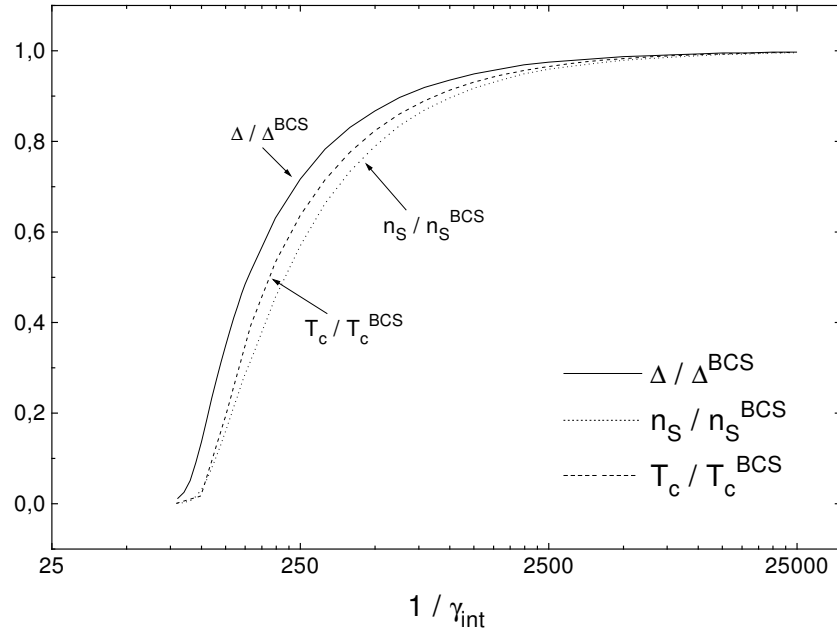


Рис. 1: Зависимости параметра порядка в сверхпроводнике  $\Delta$ , плотности сверхпроводящих электронов в сверхпроводнике  $n_S$  и критической температуры бислоя  $T_c$  от прозрачности границы на канал  $\gamma_{\text{int}}$  при нулевой температуре. Все величины нормированы на соответствующие БКШ-значения. Случай БКШ соответствует отсутствию эффекта близости, т.е. непрозрачной границе:  $\gamma_{\text{int}} = 0$ .

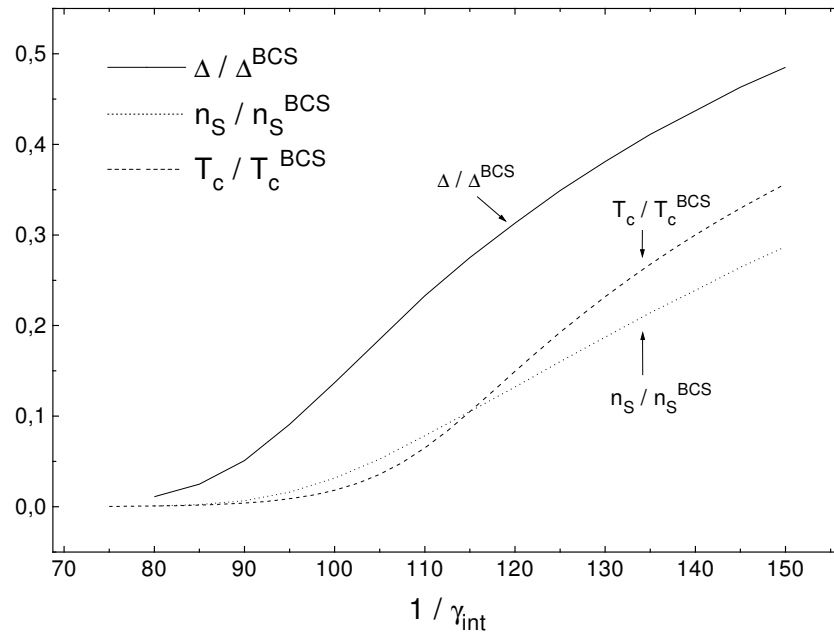


Рис. 2: Увеличенная часть рисунка 1. Изображена область больших прозрачностей  $\gamma_{\text{int}}$ , в которой нарушение соотношений БКШ между  $\Delta$ ,  $n_S$  и  $T_c$  проявляется наиболее сильно.

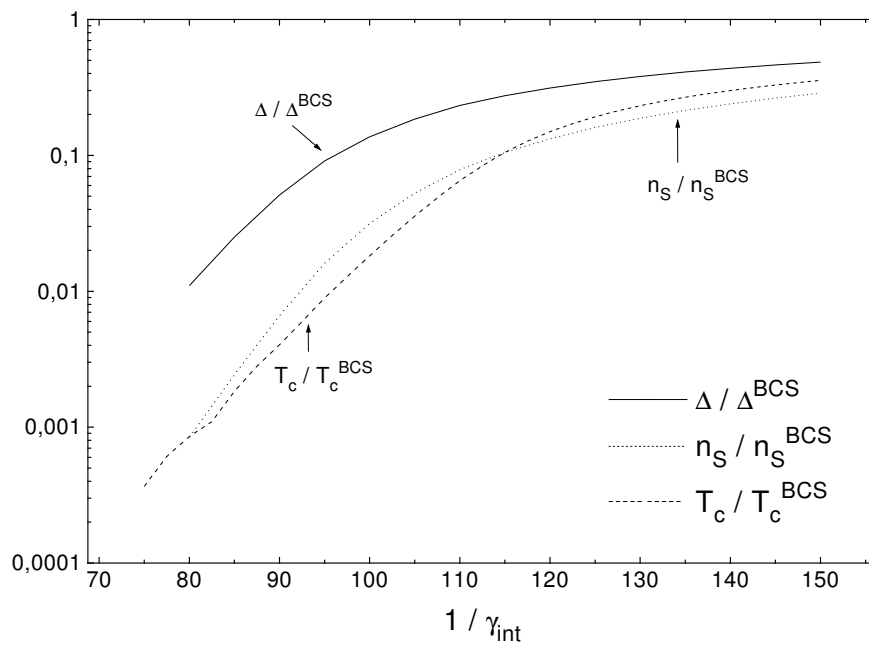


Рис. 3: То же, что и на рисунке 2, но в логарифмическом масштабе по оси ординат.



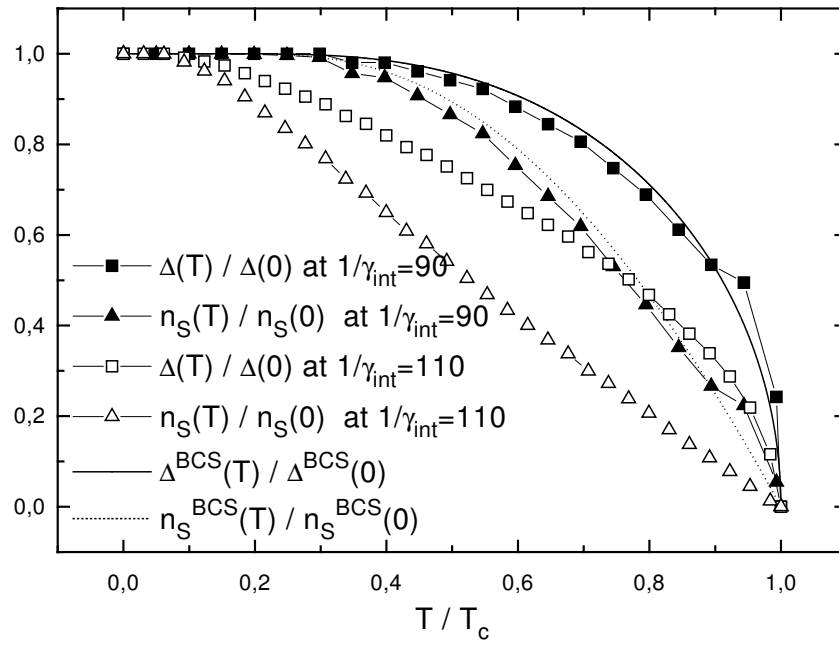


Рис. 4: Температурные зависимости  $\Delta$  и  $n_S$  при  $1/\gamma_{int} = 90$  и  $110$ . Для сравнения показаны те же зависимости в случае сверхпроводника БКШ.

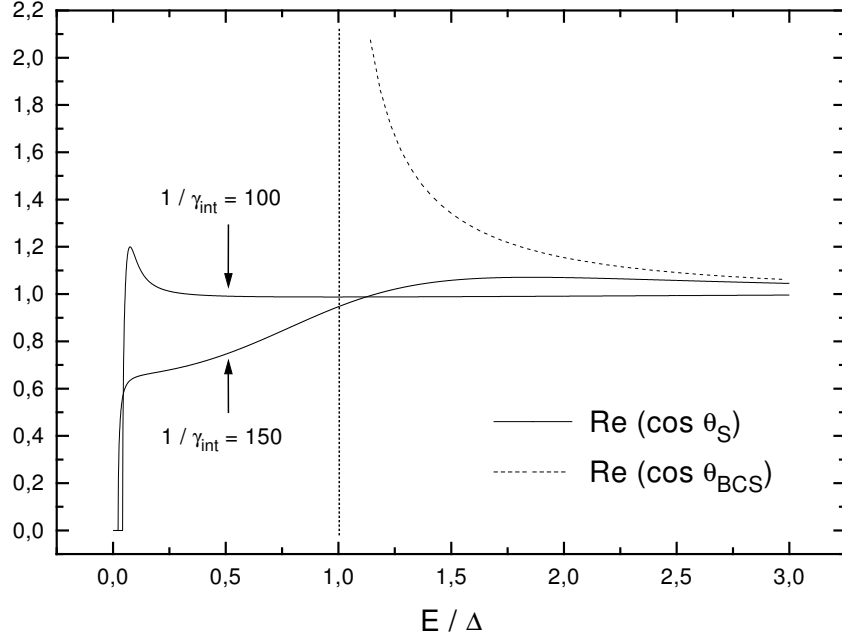


Рис. 5: Зависимость плотности состояний  $\nu$ , нормированной на плотность состояний на уровне Ферми,  $\nu(E/\Delta)/\nu_0 = \text{Re}[\cos \theta_S(E/\Delta)]$ , от энергии  $E$ , нормированной на  $\Delta$ , при  $1/\gamma_{\text{int}} = 100$  и  $150$ . Для сравнения показана плотность состояний в случае сверхпроводника БКШ:

$$\frac{\nu_{\text{BCS}}(E/\Delta)}{\nu_0} = \text{Re}[\cos \theta_{\text{BCS}}(E/\Delta)] = \begin{cases} 0, & \text{если } |E| < \Delta \\ \frac{|E/\Delta|}{\sqrt{(E/\Delta)^2 - 1}}, & \text{если } |E| > \Delta. \end{cases}$$